

کلونینگ، بیان و تخلیص پروتئین SNAP-25

دکتر سید لطیف موسوی*، شهرام نظریان**، جعفر امانی***، دکتر رحیم سروری زنجانی*

نویسنده مسئول: قم، دانشگاه شاهد، دانشکده علوم پایه، گروه زیست‌شناسی slmousavi@shahed.ac.ir

پذیرش: ۸۶/۷/۲ دریافت: ۸۶/۲/۲۴

چکیده

زمینه و هدف: سمهای عصبی کلستریدیوم آزادسازی نوروترانسミترها را به وسیله‌ی پروتولینوم اختصاصی و انتخابی SNAP-25، سیناپتوبروین و VAMP و سینتاکسین، مهار می‌کنند. پروتئین SNAP-25 یکی از پروتئین‌های تشکیل‌دهنده‌ی مجموعه‌ی لنگراندازی (Docking complex) در پایه‌های عصبی است. این پروتئین سویسترازی سم عصبی بوتولینوم، سروتیپ‌های C, A و E می‌باشد. هر کدام از این سروتیپ‌ها به طور اختصاصی و در جایگاه ویژه SNAP-25 را در یک پیوند آمیزی برشن داده و از تشکیل مجموعه‌ی لنگراندازی و در نهایت اگزوسیتوز نوروترانسミترها و انتقال پیام عصبی جلوگیری می‌کنند. در آزمایشگاه می‌توان با تولید SNAP-25 به روش نوترکیب از آن به عنوان سویسترازی سم، در تشخیص تیپ‌های A و E سم بوتولینوم بهره برد.

روش بررسی: در این مطالعه برآن شدیم که این پروتئین را به صورت نوترکیب تولید کنیم. برای این منظور cDNA ژن مورد نظر با استفاده از روش از RNA تام استخراج شده از سلول‌های مغز موش صحرایی تهیه و توسط RT-PCR PCR روی ناقل pET32a همسانه‌سازی شد و پروتئین نوترکیب بیان شده به کمک روش وسترن بلاستینگ و با استفاده از آنتی‌بادی اختصاصی مورد تأیید قرار گرفت و در نهایت با استفاده از یک ستون کروماتوگرافی میل ترکیبی (Ni-NTA) تشخیص و با کمک آنزیم ایترروکیناز فیوژن از پروتئین موردنظر جدا شد.

یافته‌ها: در این تحقیق شرایط بهینه برای بیان پروتئین نوترکیب SNAP-25، استفاده از عاظت یک میلی مولار IPTG، مدت زمان انکوباسیون ۵ ساعت در دمای ۳۷ درجه‌ی سانتی‌گراد تعیین شد. در تخلیص پروتئین نوترکیب با استفاده از ستون Ni-NTA، عاظت ۲۵۰ میلی مولار ایمی‌ازول باعث جداسازی و تخلیص پروتئین نوترکیب شد. هم‌چنین استفاده از آنزیم ایترروکیناز برای برشن فیوژن در دمای ۳۷ درجه‌ی سانتی‌گراد نسبت به دمای محیط نتایج بهتری را به همراه داشت.

نتیجه‌گیری: پروتئین نوترکیب تخلیص شده ساختار خود را در حین تخلیص از دست نداده و جهت برشن و انجام آزمایشات بعدی مناسب و قابل استفاده می‌باشد. از آن‌جا که سایر روش‌های تشخیصی سم بوتولینوم از جمله روش استاندارد تزریق به موش بسیار وقت‌گیر می‌باشد لذا استفاده از این محصول نوترکیب به عنوان سویسترا جهت تشخیص سم در آزمایشگاه می‌تواند تا اندازه‌ای مشکلات موجود در روش‌های قبلی را مرتفع سازد.

واژگان کلیدی: نوروتوكسین بوتولینوم تیپ A و E، پروتئین نوترکیب، SNAP-25

*دکترای تخصصی بیوشیمی، استادیار دانشگاه شاهد

**کارشناس ارشد سلولی ملکولی، دانشگاه امام حسین

***کارشناس ارشد سلولی ملکولی، دانشگاه امام حسین

****دکترای تخصصی میکروب‌شناسی، استادیار دانشگاه علوم پزشکی بقیه‌ا...، دانشگاه علوم پزشکی زنجان

مقدمه

لنگراندازی از ابر پیچش چهار مارپیچ آلفا به صورت چپ گرد ایجاد می شود که سه عدد از این مارپیچ ها مربوط به SNAP-25 است و یک عدد مربوط به v-SNARE می باشد. این مجموعه زمانی تشکیل می شود که غلاظت کلسیم به واسطه رسانیدن پیام عصبی به انتهای عصب و باز شدن پمپ های وابسته به ولتاژ افزایش یابد. پس از لنگراندازی وزیکول حاوی نوروترانسمیتر به غشای انتهای سیناپسی و SNARE الحاق دو غشا به کمک پروتئین های نوروترانسمیتر از طریق اگزو سیتوز به داخل فضای سیناپسی رها شده و از این طریق پیام عصبی از یک نورون به نورون دیگر یا به سلول های ماهیچه ای منتقل می شود (۱۵-۱۷). سه های عصبی بوتولینوم تیپ A و E قادر هستند پروتئین SNAP-25 که یکی از اجزای تشکیل دهنده ای این مجموعه است را به ترتیب در موقعیت Gln197-Arg198 و Arg180-Gln181 برش دهند (۱۸، ۱۹). از آنجایی که سه بوتولینوم بسیار کشنده است تشخیص سریع و دقیق آن امری حیاتی محسوب می شود بنابراین می باشد روش خاصی انتخاب شود که ساده، ارزان، دقیق و در دسترس باشد. در سال های اخیر روش های زیادی برای تشخیص آزمایشگاهی سه های عصبی کلستریدیوم بوتولینوم از جمله تشخیص ایمونولوژیک با حساسیتی نزدیک به روش های قدیمی ابداع شده است (۲۰، ۲۱). در حال حاضر یکی از حساس ترین و دقیق ترین روش ها تشخیص توسط Reversed Phase-High Performance [RP-HPLC] می باشد که پروتئین SNAP-25 را به عنوان سوبستراط آزمایشگاهی برای تشخیص سریع سه عصبی بوتولینوم تیپ A و E نیاز دارد (۱۹-۲۴) و از آنجایی که تولید آن به روش سنتز آزمایشگاهی در حال حاضر در داخل کشور محدود نمی باشد و تهیه ای آن مستلزم هزینه ای بالاست، بدیهی است تولید نوع نوترکیب آن می تواند بسیار مفید واقع شود. در این مطالعه ما برآن شدیم

سم های عصبی بوتولینوم عوامل نوروپارالیتیک مهمی هستند که انتقال عصبی کلونرژیک را مهار می کنند و از این طریق سبب سستی و فلچ شل می شوند (۱-۴). سم بوتولینوم یک متالواندو پیتیداز است که از دو زنجیره ای پلی پیتیدی تشکیل شده است که زنجیره ای سنگین به نورون های حرکتی کلونرژیک متصل شده و با ایجاد کanal ورود زنجیره ای سبک را تسهیل می نماید. زنجیره ای سبک که نقش پیتیدازی را بازی می کند بسیار اختصاصی عمل می کند (۵-۹).

soluble [SNARE] N-ethylmaleimide-sensitive-factor attachment protein می باشد. پروتئین های SNARE مسؤول تشکیل مجموعه ای لنگراندازی بین وزیکول های سیناپسی و غشای انتهایی سلول های عصبی می باشند که از سه پروتئین تشکیل شده اند: پروتئین غشای وزیکولی به نام (Vesicle associated membrane protein [VAMP]) پروتئین غشای سیناپسی به نام سیتاکسین (Syntaxnin) و پروتئین دیگری به نام SNAP-25 که یک پروتئین سطح غشایی است (۱۰-۱۲). دو پروتئین اول هر کدام تشکیل یک مارپیچ آلفا را می دهند که در ساختمان مجموعه ای لنگراندازی شرکت می کند و (Synaptosomal associated protein of 25KD [SNAP-25]) تشکیل دو مارپیچ آلفا را می دهد که در ساختمان این مجموعه شرکت می کند (۱۳). SNAP-25 یک پروتئین آب گریز با ۲۰۶ اسید آمینه می باشد و از طریق پلیمیتل با پیوند تیواستری به چهار سیستئین نزدیک به مرکز پروتئین متصل هستند، که این مجموعه به غشا متصل می شود. ناحیه های موجود در پایانه ای آمینی و کربوکسیل این پروتئین بسیار حفاظت شده هستند و پیش بینی می شود که ساختمان های مارپیچی داخل مولکول را ایجاد می کنند (۱۲-۱۴). بنابراین مجموعه ای

تهیهی cDNA مربوط به SNAP-25 و تکثیر آن به کمک RNA Polymerase chain reaction [PCR] (): ابتدا تام با پرایمر پایین دست و آب دوبار تقطیر تیمار شده با DEPC در ۷۰ درجه‌ی سانتی‌گراد به مدت پنج دقیقه انکوبه (RNAsin) RNase شد سپس به آن dNTPs و مهارکننده‌ی RNase (RNAsin) Revert Aid M-MuLV Reverse Transcriptase و آب دو بار تقطیر اضافه و به مدت ۵ دقیقه در ۳۷ درجه‌ی سانتی‌گراد انکوبه شد و به آن آنزیم Revert Aid M-MuLV Reverse Transcriptase در ۴۲ درجه‌ی سانتی‌گراد به مدت ۶۰ دقیقه انکوبه گردید. در پایان برای خاتمه دادن به واکنش، آن را به مدت ۱۰ دقیقه در ۷۰ درجه‌ی سانتی‌گراد انکوبه کردیم. cDNA حاصل به کمک واکنش PCR تکثیر شد. واکنش PCR جهت تکثیر cDNA در حجم ۲۵ میکرولیتر انجام گرفت. هر واکنش شامل ۰/۴ میکرومول از هر پرایمر، ۰/۰۰۰ میلی‌مولار از مخلوط نوکلئوتیدهای dATP، dGTP، dCTP، dTTP باf میکروولیتر آنزیم Pfu DNA polymerase (فرمتاز)، ۰/۰۵ میکرومولار و ۵۰ نانوگرم از cDNA تهیه شده بود. سیکل‌های PCR شامل یک مرحله‌ی واسرشته شدن ابتدایی در دمای ۹۴ درجه‌ی سانتی‌گراد به مدت ۵ دقیقه و ۳۰ سیکل سه مرحله‌ای شامل واسرشته شدن در دمای ۹۴ درجه‌ی سانتی‌گراد به مدت ۳۰ ثانیه، اتصال پرایمر به رشته‌ی الگو در دمای ۶۰ درجه‌ی سانتی‌گراد به مدت یک دقیقه و تکثیر قطعه‌ی مورد نظر در ۷۲ درجه‌ی سانتی‌گراد به مدت یک دقیقه و در پایان یک مرحله‌ی تکثیر نهایی در دمای ۷۲ درجه‌ی سانتی‌گراد به مدت ۷ دقیقه بود.

همسانه‌سازی قطعه‌ی حاصل از واکنش PCR: محصول PCR بر روی ژل آگارز یک درصد (سیناثن) به کمک مارکر مولکولی مورد تأیید قرار گرفت همچنین هضم آنزیمی محصول PCR با کمک آنزیم TaqI (سیناثن) نیز مؤید این

تا با همسانه‌سازی SNAP-25 در یک ناقل مناسب، بیان و تخلیص پروتئین نوترکیب، سوبیسترای سم عصبی نوع A و E را در آزمایشگاه فراهم کنیم تا در مطالعات بعدی بتوانیم از این سوبیسترا برای تشخیص سریع و اختصاصی سوموم فوق در آزمایشگاه بهره ببریم. همچنین این سوبیسترا می‌تواند در تشخیص سم عملکردی از غیرعملکردی کمک شایانی داشته باشد که در گذشته فقط با تزریق به موش انجام می‌گرفت.

روش بررسی

استخراج ترادف ژن مربوط به SNAP-25 انسانی از بانک ژن و طراحی پرایمر: در این مطالعه‌ی تجربی پس از استخراج ترادف ژنی SNAP-25 انسانی از بانک ژن و مقایسه‌ی آن با ترادف ژنی SNAP-25 موش صحرایی با کمک برنامه‌ی BLAST، مشاهده شد که این دو ژن کاملاً یکسان و حفاظت‌شده هستند، بنابراین بر اساس ترادف cDNA از SNAP-25 موش صحرایی اقدام به طراحی پرایمر و سفارش آن از شرکت MWG-Bio-Tech شد. پرایمر بالادرست دارای جایگاه شناسایی آنزیم محدود‌الاثر BamHI است و پرایمر پایین دست دارای جایگاه شناسایی آنزیم محدود‌الاثر EcoRI می‌باشد.

۵'-ACT GGATCC ATG GCC GAG
GAC G-3' BamHI
۵'-GGA GAATTC TTA ACC
ACT TCC CAG CAT-3' EcoRI

تهیه‌ی RNA تام از قسمت قشری مغز موش صحرایی: با استفاده از کیت RNX و پروتکل ارایه شده توسط شرکت فروشنده (فرمتاز)، RNA تام از قسمت قشری مغز موش نر بالغ از نژاد راتوس (Rattus norvegicus wister) که از دانشگاه علوم پزشکی بقیه... تهیه شده و به کمک ازت مایع و هاون به صورت پودر در آمده بود، استخراج شد.

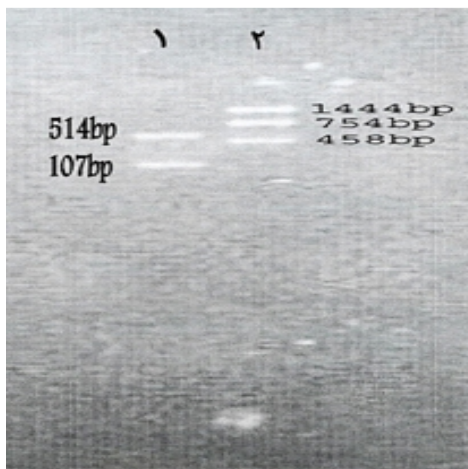
از قطعه‌ی His-tag که توسط وکتور در دو انتهای محصول ایجاد شده است، انجام شد. برای این منظور از ستون کروماتوگرافی میل ترکیبی Ni-NTA (کیاژن) که پروتئین‌های حاوی His-tag با تمايل بالا به آن متصل می‌شوند، استفاده شد. پس از شکستن سلول‌ها به کمک سونیکاتور (۵ سیکل ۲۰ ثانیه‌ای) نمونه را به مدت ۳۰ دقیقه در دمای ۴ درجه‌ی سانتی‌گراد و با سرعت ۱۴۰۰۰ دور در دقیقه سانتریوفورز کردیم سپس محلول رویی را با بافر حاوی ۱۰ میلی‌مولار ایمیدازول و pH=۸ به حجم ۴ میلی‌لیتر رسانده و به آن یک ۴ میلی‌لیتر از رزین Ni-NTA اضافه کردیم و در دمای ۴ درجه‌ی سانتی‌گراد و در حالت به هم زدن به مدت ۱/۵ ساعت انکوبه کردیم تا اتصال پروتئین موردنظر با یون‌های نیکل صورت گیرد سپس مخلوط واکنش در ستون کروماتوگرافی قرار گرفت. ستون با غلظت‌های مختلف ایمیدازول مورد شست و شو قرار گرفت، در نهایت ستون با بافر حاوی ۲۵۰ میلی‌مولار ایمیدازول شسته شد تا پروتئین موردنظر خارج شود و در پایان خروجی‌های ستون در مراحل مختلف به کمک ژل SDS-PAGE ۱۲ درصد بررسی گردید.

برش قطعه‌ی مربوط به وکتور از SNAP-25 به کمک آنزیم انتروکیناز؛ برای این منظور ابتدا خروجی ستون را که حاوی پروتئین مورد نظر ماست و به کمک SDS-PAGE آن را تأیید کرده‌ایم، بر علیه بافر تریس ۵۰ میلی‌مولار با pH=۷/۵ در دمای ۴ درجه‌ی سانتی‌گراد دیالیز کردیم، سپس بعد از یک شبانه‌روز دیالیز، نمونه را از کیسه‌ی دیالیز خارج کرده و با نسبت ۱/۲۰ به آن آنزیم انتروکیناز (سیگما) اضافه کردیم و به مدت ۱۵ ساعت در دمای ۳۷ درجه‌ی سانتی‌گراد انکوبه شد. در ادامه حاصل واکنش هضم آنزیمی با کمک ژل SDS-PAGE دوازده درصد مطالعه قرار گرفت.

مطلوب بود. با استفاده از دو آنزیم EcoRI و BamHI (فرمتاز) در یک واکنش هضم دوگانه با بافر Y/TANGO مطالعه PCR مورد هضم قرار گرفت تا انتهای چسبناک در ۳ و ۵ ایجاد شود. هم‌چنین ناقل انتخاب شده در این مطالعه وکتور PET32a (نوازن) بود که با دو آنزیم فوق مورد هضم قرار گرفت سپس بر روی ژل آگاراز با دمای ذوب پایین [LMP] (Low-melting point) با غلظت یک درصد الکترافورز و در نهایت به کمک کیت خالص‌سازی محصول PCR و وکتور (سیناژن) صورت گرفت. با کمک آنزیم T₄ DNA Ligase (فرمتاز) عمل اتصال قطعه با ناقل در دمای ۱۲ درجه‌ی سانتی‌گراد و به مدت ۱۰ ساعت انجام شد و سپس پلاسمید‌های نوترکیب با روش شوک حرارتی به سلول‌های مستعد E coli (سویه‌ی BL21-DE3) تواریخت شدند و روی محیط (LB) (Luria Bertani) آگار حاوی آنتی‌بیوتیک آمپسیلین کشت داده در دمای ۳۷ درجه‌ی سانتی‌گراد انکوبه شدند. کلون‌های حاوی قطعه‌ی موردنظر به کمک PCR و هضم آنزیمی و در نهایت با تعیین توالی تأیید گردید.

بیان پروتئین موردنظر: از کشت شبانه‌ی کلون‌های جداسازی شده میزان ۵۰ میکرولیتر به ۵ میلی‌لیتر محیط LB مایع تلقیح و پس از رسیدن به OD₆₀₀=۰/۶ در طول موج ۶۰۰ نانومتر، (Isopropyl B-D-thiogalactopyranoside [IPTG]) با غلظت یک میلی‌مولار به محیط کشت افزوده و به مدت ۶ ساعت در دمای ۳۷ درجه‌ی سانتی‌گراد انکوبه شدند سپس نمونه‌های قبل و بعد از القا به کمک ژل (SDS-PAGE) (Sodium dodecyl sulfate Polyacrylamide Gel Electrophoresis) ۱۲ درصد مورد مطالعه قرار گرفتند. برای تأیید پروتئین مورد نظر از وسترن بلاستینگ و الیزا با آنتی‌بادی اختصاصی (سیگما) استفاده شد. **تخلیص پروتئین SNAP-25:** تخلیص SNAP-25 با استفاده

یافته‌ها



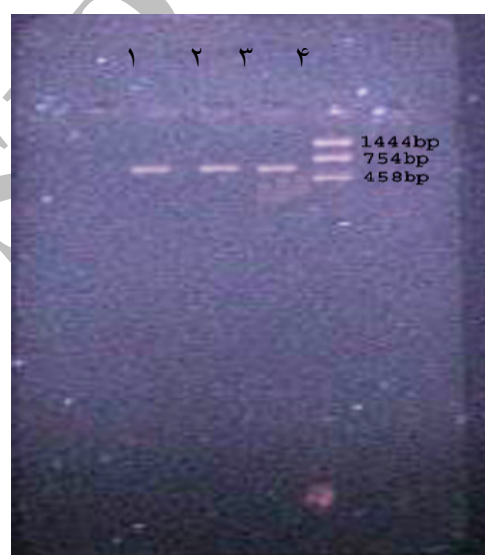
شکل ۲: تأیید محصول PCR به روش هضم آنزیمی

- ردیف ۱: محصول PCR هضم شده با آنزیم *TaqI*

- ردیف ۲: مارکر مولکولی *pUC18* هضم شده با آنزیم

TaqI ۱۴۴۴، ۷۵۴، ۴۵۸ جفت باز

پس از تهیه و تکثیر cDNA به روش RT-PCR محصول PCR روی ژل آگارز مورد مطالعه قرار گرفت. همان‌طور که در تصویر شماره‌ی یک مشاهده می‌شود، قطعه‌ی موردنظر از لحاظ اندازه با ژن هدف ما هم‌خوانی دارد (حدود ۶۲۱ جفت باز). مارکر استفاده شده در این آزمایش pUC18 می‌باشد که با آنزیم *TaqI* مورد هضم آنزیمی قرار گرفته است.



شکل ۱: بررسی محصول PCR بر روی ژل آگارز

- ردیف ۱، ۲، ۳: محصول PCR

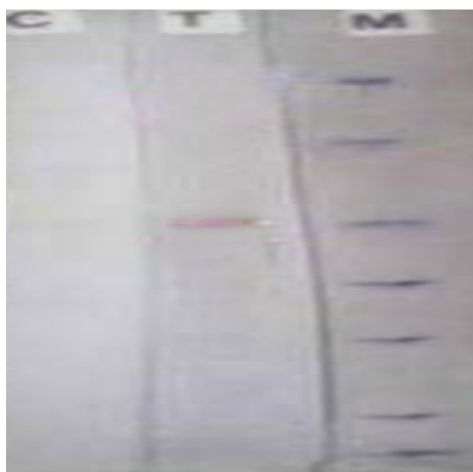
- ردیف ۴: مارکر مولکولی *pUC18* هضم شده با آنزیم

TaqI ۱۴۴۴، ۷۵۴، ۴۵۸ جفت باز

پس از الحاق قطعه‌ی موردنظر در ناقل و تراویخت آن به داخل سلول‌های میزبان، عمل استخراج پلاسمید از کلون‌های غربال شده صورت گرفت و برای تأیید کلون‌ها ابتدا پلاسمیدهای نوترکیب را با دو آنزیم *EcoRI* و *BamHI* که برای کلونینگ مورد استفاده قرار گرفته بودند، هضم کرده و مشاهده شد که قطعه‌ی مورد نظر از پلاسمید جدا شد. در شکل ۳ نتیجه‌ی هضم آنزیمی پلاسمیدهای نوترکیب روی ژل آگارز یک درصد مشاهده می‌شود. هم‌چنین برای تأیید بیشتر از پلاسمیدهای استخراج شده عمل PCR به کمک پرایمرهای طراحی شده نیز انجام پذیرفت. در مرحله‌ی بیان، کلون‌های مختلف را در دو مرحله قبل و بعد از القا جمع‌آوری کرده و پس از شکستن سلول‌ها، پروتئین‌های آن‌ها روی ژل SDS-PAGE دوازده درصد مورد مطالعه قرار گرفت که نتیجه در شکل ۴ مشاهده می‌شود. در نمونه‌های قبل از القا در ناحیه‌ی ۴۵ کیلو Dalton باندی مشاهده نمی‌شود اما در نمونه‌های بعد از القا یک باند واضح در این ناحیه مشاهده می‌شود که وجود مارکر اندازه‌ی آن را تأیید می‌کند. بهترین

در ادامه برای تأیید بیشتر محصول PCR قبل از همسانه‌سازی از آنزیم *TaqI* استفاده شد. آنالیز کامپیوتربی ترادف ژن در برنامه‌ی DNASIS نشان داد که هضم آنزیمی محصول PCR توسط آنزیم *TaqI* دو قطعه به طول ۱۰۷ و ۵۱۴ جفت باز به وجود خواهد آورد. نتیجه‌ی آزمایش با این امر کاملاً مطابقت داشت (شکل ۲).

برای تأیید محصول پروتئینی از روش وسترن بلاستینگ نیز استفاده شد که در شکل ۵ نتیجه‌ی آن مشاهده می‌شود. در ستون تست که نمونه‌ی بعد از بیان را در آن الکتروفورز کرده بودیم، یک باند واضح نزدیک به ۵۰ کیلو Dalton مشاهده شد. در این آزمایش در ستون قبل از القا این باند مشاهده نشد و چون برای ظهرور باندها از آنتی‌بادی ضد SNAP-25 (سیگما) متصل شده به یک آنزیم استفاده شد، میانکش بسیار اختصاصی آنتی‌بادی، حضور پروتئین مورد نظر را تأیید کرد.



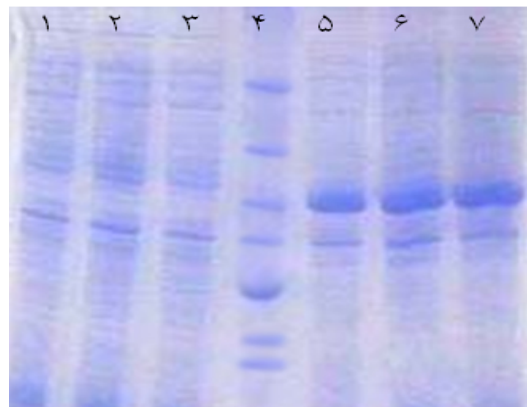
شکل ۵: وسترن بلاستینگ پروتئین نوترکیب SNAP-25 و قطعه‌ی وکتور
- ردیف *M*: مارکر پروتئینی: ۱۱۶، ۲۶۶، ۲۵، ۳۵، ۴۵ و ۱۸۴ کیلو Dalton
- ردیف *T*: مریبوط به نمونه‌ی بعد از القا
- ردیف *C*: مریبوط به نمونه‌ی قبل از القا
در ادامه با استفاده از ستون میل ترکیبی Ni-NTA اقدام به تخلیص پروتئین نوترکیب SNAP-25 شد. همان‌طور که در شکل ۶ مشاهده شد، خروجی‌های ستون شامل شست‌وشو با ایمیدازول ۵۰، ۱۰۰ و هم‌چنین ۲۵۰ میلی‌مولار در ژل SDS-PAGE ۱۲ درصد مورد بررسی قرار گرفته است. پروتئین نوترکیب SNAP-25 و قطعه‌ی ۲۰ کیلو Daltonی ناقل متصل به آن در شست‌وشو با ۲۵۰ میلی‌مولار ایمیدازول از

بیان پس از افزودن IPTG با غلظت یک میلی‌مولار به محیط کشت بعد از رسیدن به جذب نوری ۰/۶ و انکوبه کردن آن به مدت پنج ساعت در دمای ۳۷ درجه‌ی سانتی‌گراد و ۱۵۰ دور در دقیقه به دست آمد.



شکل ۳: هضم آنزیمی پلاسمیدهای نوترکیب توسط دو آنزیم *EcoRI* و *BamHI*

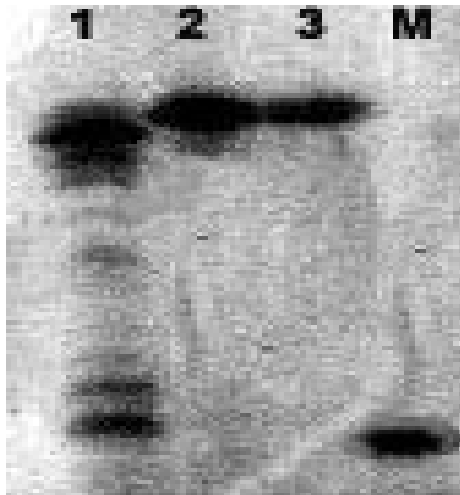
- ردیف ۱، ۲ و ۴: وکتور *pET32a* حاوی ژن مورد نظر که با دو آنزیم فوق مورد هضم قرار گرفته است
- ردیف ۵: مارکر مولکولی *μUC18* هضم شده با آنزیم *TaqI* ۱۴۴۴، ۷۵۴، ۴۵۱ جفت باز



شکل ۴: ژل مریبوط به SDS-PAGE نمونه‌های قبل و بعد از القا

- ردیف ۱، ۲ و ۳: نمونه‌های قبل از القای سه کلون مختلف
- ردیف ۴: مارکر پروتئینی: ۱۱۶، ۲۶۶، ۲۵، ۳۵، ۴۵ و ۱۸۴ کیلو Dalton
- ردیف ۶، ۵ و ۷: نمونه‌های بعد از القای سه کلون مختلف

کیلودالتونی و ۲۵ کیلودالتونی در نمونه‌ی هضم شده به ترتیب نمایان‌گر فیوژن وکتور و پروتئین نوترکیب SNAP-25 می‌باشد. در نهایت میزان پروتئین به دست آمده ۴۰۰ میلی‌گرم بود.



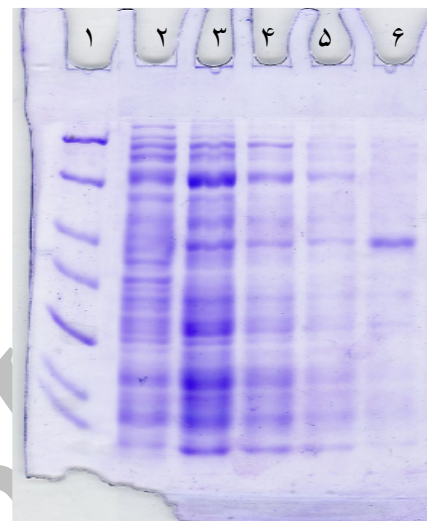
شکل ۷: ژل اکریل آمید ۱۲ درصد مربوط به هضم آنزیمی محصول بیان با آنزیم انتروکیناز

- ردیف ۱: پروتئین SNAP-25 + فیوژن هضم شده با آنزیم انتروکیناز به مدت ۵ ساعت
- ردیف ۲: پروتئین SNAP-25 + فیوژن هضم شده با آنزیم انتروکیناز به مدت ۳ ساعت
- ردیف ۳: پروتئین SNAP-25 + فیوژن
- ردیف M: مارکر پروتئینی Lysosome با وزن مولکول ۱۳ کیلودالتون

بحث

سم‌های عصبی کلستریدیومی، اندوپیتیدازهای وابسته به روی (Zn^{+2}) می‌باشند که به صورت کاملاً انتخابی اجزای حفره‌ها یا غشاها سیناپتیک را در مجموعه‌ی لنگراندازی مورد هدف قرار می‌دهند. تولید نوترکیب مولکول‌های هدف با توجه به عملکرد این سموم در سیناپس می‌تواند وسیله‌ی مناسبی در تشخیص آزمایشگاهی این سموم باشد. ما در این تحقیق برآن شدیم که با تولید پروتئین SNAP-25 به روش

ستون خارج شده است و نشان‌دهنده‌ی این است که نشان هیستدین در ابتدای این پروتئین با تمایل بالایی به ستون متصل می‌شود.



شکل ۸: ژل SDS-PAGE دوازده درصد مربوط به خروجی‌های ستون تخلیص

- ردیف ۱: مارکر پروتئینی: ۱۱۶، ۶۶/۲، ۴۵، ۳۵، ۲۵، ۱۸/۴ و ۱۴/۴ کیلودالتون
- ردیف ۲ و ۳: به ترتیب نمونه‌ی قبل و بعد از القا
- ردیف ۴: خروجی ستون تخلیص با ایمیدازول ۵۰ میلی‌مولار
- ردیف ۵: خروجی ستون با ایمیدازول ۱۰۰ میلی‌مولار
- ردیف ۶: خروجی ستون با ایمیدازول ۲۵۰ میلی‌مولار

قابل ذکر است که میزان کل پروتئین به دست آمده از ۲۵۰ میلی‌لیتر کشت یک گرم و میزان پروتئین SNAP-25 خالص شده ۵۰۰ میلی‌گرم بوده است. برای جدا کردن قطعه‌ی ۲۰ کیلودالتونی وکتور از قطعه‌ی ۲۵ کیلودالتونی SNAP-25 از آنزیم انتروکیناز که دارای جایگاه شناسایی در انتهای بخش فیوژن و ابتدای پروتئین نوترکیب مورد نظر استفاده شد، پس از انجام هضم آنزیمی، نمونه‌های شاهد با نمونه‌ی هضم شده به کمک ژل SDS-PAGE دوازده درصد مورد بررسی قرار گرفتند که در شکل ۷ نتیجه را مشاهده می‌کنید، دو باند ۲۰

در ایران مقدور نمی باشد و از طرفی تهیه‌ی آن‌ها از خارج از کشور مستلزم صرف هزینه‌ی بسیار بالاست لذا هدف از تحقیق حاضر تولید نوترکیب یکی از سوبستراهای اساسی سوم بوتولیسم (SNAP-25) می‌بود تا در ادامه‌ی کار بتوان از آن به عنوان وسیله‌ای جهت شناسایی سریع و دقیق سروتیپ‌های E و A استفاده کرد. در تحقیقی که اکونگ و همکاران انجام داده‌اند با استفاده از همین روش و به کمک پیتید نوترکیب SNAP-25 توانسته‌اند توکسین تیپ A بوتولیسم را تا حد LD₅₀ /۸ شناسایی کنند (۱). در تحقیق حاضر پروتئین SNAP-25 به صورت فیوژن با قطعه‌ی ۲۰ کیلوdaltonی از وکتور pET32a در سیستم پروکاریوتی Ecoli تولید شد. استفاده از قطعه‌ی فیوژن باعث تسهیل تخلیص پروتئین گردید. استفاده از ستون کروماتوگرافی Ni-NTA، نیز میزان بالای بیان پروتئین باعث شد که پروتئین خارج شده از ستون از خلوص و غلظت بالای برخوردار باشد. با مطالعات انجام شده مشخص شد که قطعه‌ی فیوژن در برش آنژیمی توکسین بوتولیسم تأثیری منفی ندارد. میزان پروتئین تخلیص شده بعد از برش با آنژیم ایتروکیناز نیز بالا بود و این تجربه نشان داد که استفاده از سیستم وکتوری pET برای تولید نوترکیب پروتئین-SNAP ۲۵ برای بررسی فعالیت اندوپیتیدازی سم بوتولیسم در شرایط داخل آزمایشگاهی مناسب است. در تحقیقی مشابه اکونگ و همکاران جهت تولید پروتئین نوترکیب SNAP-25 از وکتور pMAL-C2 استفاده نمودند. این وکتور نیز دارای فیوژن MBP است که جهت تخلیص از آن استفاده می‌شود. آنژیم مورد استفاده جهت جداسازی فیوژن پروتئین فاکتور Xa بود. از معایب این وکتور بیان هم‌زمان پروتئین MBP بود که مرحله‌ی تخلیص پروتئین نوترکیب را تا حدودی دچار مشکل می‌ساخت. میزان پروتئین نوترکیب شده و هم‌چنین غلظت پروتئین استحصال شده از ستون کروماتوگرافی نیز در تحقیق آن‌ها مناسب گزارش

نوترکیب از آن به عنوان سوبستراتی سم بوتولیسم در تشخیص آزمایشگاهی استفاده کنیم. تا مدت‌ها پیش تنها روش قابل اعتماد تشخیص سم بوتولینم، بررسی سمتی ایجاد شده در موش بود (۲۲). اگر چه این تست حساسیت بالایی دارد (۱۰ تا ۲۰ پیکوگرم بر میلی‌لیتر) اما استفاده از تعداد زیاد حیوانات آزمایشگاهی، زمان‌بر بودن و هزینه‌ی بالای آن از محدودیت‌های این روش می‌باشد.

در سال‌های اخیر روش‌های جدیدی برای تشخیص سوم بوتولیسم ابداع شده‌است که در عین حساسیت کافی محدودیت‌های فوق را نیز تا اندازه‌ای مرتفع نموده‌اند. روش‌های HPLC-MS, RP-HPLC و بررسی فعالیت اندوپیتیدازی از جمله این روش‌ها می‌باشند. استفاده از پیتیدهای مصنوعی (ستنتیک) که از روی قسمتی از سوبستراهای طبیعی (VAMP-2 و SNAP-25) ساخته می‌شوند اساس تشخیص محققین در همه‌ی این روش‌ها می‌باشد (۲۲). در تحقیقی که هالیس و همکاران انجام داده‌اند با استفاده از همین روش و به کمک پیتید سنتزی SNAP-25 و VAMP-2 توانسته‌اند توکسین تیپ A و B بوتولیسم را شناسایی کنند (۲۵). آن‌ها در این روش قطعه سنتزی از آمینواسید ۱۳۷ تا آمینواسید ۲۰۶ SNAP-25 را جهت بررسی برش آنژیمی استفاده کردند. پس از برش پلی‌پیتید، قطعه‌ی ۴۷ آمینواسیدی باقی‌مانده بر روی فاز جامد به وسیله‌ی سوبستراتی آنژیمی مورد شناسایی قرار می‌گیرد. هم‌چنین با استفاده از قطعه‌ی ۳۶ آمینواسیدی سنتیک پروتئین-2 فعالیت اندوپیتیدازی سم تیپ B را مورد مطالعه قرار دادند. پس از برش اندوپیتیدازی پلی‌پیتید، قطعه‌ی ۱۹ آمینواسیدی باقی‌مانده بر روی فاز ثابت تأیید گردید. در این تست بین این سم و دیگر سم‌ها و اکنش متقطع دیده نشده و حساسیت آن برای BONT/A تا حد ۱/۳ نانوگرم در میلی‌لیتر و برای BONT/B بین ۰/۶ تا ۵/۴ نانوگرم در میلی‌لیتر تعیین گردید. از آنجایی که تولید مصنوعی سوبستراهای فوق در حال حاضر

تقدیر و تشکر

مقاله‌ی حاضر بخشی از پایان‌نامه مقطع کارشناسی ارشد و مصوب دانشگاه امام حسین(ع) می‌باشد که به این‌وسیله از آن دانشگاه تقدیر و تشکر به عمل می‌آید.

شده است (۱). بررسی فعالیت اندوپیتیدازی برای شناسایی سوم بوتولیسم و کاربرد آن در آزمایشگاه تشخیصی از دیگر کارهایی است که می‌بایستی بر روی SNAP-25 نوترکیب تولید شده صورت گیرد.

منابع

- 1- Ekong TN, Feavers IM, Sesardic D. Recombinant SNAP-25 is an effective substrate to clostridium botulinum type A toxin endopeptidase activity in vitro. *Microbiology*. 1997; 143: 3337-47.
- 2- Montecucco C, Molgo J. Botulinal neurotoxins: revival of an old killer. *Curr Opin Pharmacol*. 2005; 5: 274-9.
- 3- Schiavo G, Matteoli M, Montecucco C. Neurotoxins affecting neuroexocytosis. *Physiol Rev*. 2000; 80: 717–66.
- 4- Agarwal R, Eswaramoorthy S, Kumaran D, Dunn JJ, Swaminathan S. Cloning, high level expression, purification, and crystallization of the full length Clostridium botulinum neurotoxin type E light chain. *Protein Expr Purif*. 2004; 34: 95–102.
- 5- Lalli G, Bohnert S, Deinhardt K, Verastegui C, Schiavo G. The journey of tetanus and botulinum neurotoxins in neurons. *Trends Microbiol*. 2003; 11: 431-7.
- 6- Schiavo G, Montecucco C. *Clostridial neurotoxins*. In: Aktories K, editor. *Bacterial toxins: tools in cell biology and pharmacology*. 2nd ed. Weinheim. Germany: Chapman and Hall; 1997, 169-186.
- 7- Sharma S, Zhou Y, Singh BR. Cloning, expression, and purification of C-terminal quarter of the heavy chain of botulinum neurotoxin type A. *Protein Expr Purif*. 2006; 45: 288-95.
- 8- Pellizzari R, Rossetto O, Schiavo G, Montecucco C. Tetanus and botulinum neurotoxins : Mechanism of action and therapeutic uses. *Philos Trans R Soc Lond B Biol Sci*. 1999; 354: 259-68.
- 9- Zhou JY, Wang ZF, Ren XM, Tang MZ , Shi YL. Antagonism of botulinum toxin type A-induced cleavage of SNAP-25 in rat cerebral synaptosome by toosendanin. *FEBS Lett*. 2003; 555: 375-9.
- 10- Alberts B, Johnson A, Lewis J, et al. *Molecular biology of the cell*. In: Gibbs S, et al, editors .4th ed. New York: Garland Science press; 2002, 720-726.
- 11- Hodel A. Molecules in Focus SNAP-25. *J Biochem & Cell Biol*. 1998; 30: 1069-73.
- 12-Sorensen JB. SNARE complexes prepare for membrane fusion. *Trends Neurosci*. 2005; 28: 453–455.
- 13- Sorensen JB, Matti U, Wei SH, et al. The SNARE protein SNAP-25 is linked to fast calcium triggering of exocytosis. *Proc Natl Acad Sci USA*. 2002; 99: 1627–32.

- 14- Humeau Y, Doussau F, Grantb NJ, Poulaina B. How botulinum and tetanus neurotoxins block neurotransmitter release. *Biochime*. 2000; 82: 427–46.
- 15- Wilson MC, Mehta PP, Hess EJ. SNAP-25, enSNAREd in neurotransmission and regulation and of behaviour. *Biochem Soc Trans*. 1996; 24: 670-676.
- 16- Hanson PI, Heuser JE, Jahn R. Neurotransmitter release - four years of SNARE complexes. *Curr Opin Neurobiol*. 1997; 7: 310-5.
- 17- Breidenbach MA, Brunger AT. Substrate recognition strategy for botulinum neurotoxin serotype A. *Nature*. 2004; 432: 925–9.
- 18- Chen S, Barbieri JT. Unique substrate recognition by botulinum neurotoxins serotypes A and E. *J biol chem*. 2006; 281: 10906 –11.
- 19- Ferreira J, Maslanka S, Johnson E, Goodnough M. Detection of botulinal neurotoxins A, B, E, and F by amplified enzyme-linked immunosorbent assay: collaborative study. *J AOAC Int*. 2003; 86: 314–31.
- 20- Ferreira JL, Eliasberg SJ, Edmonds P, Harrison MA. Comparison of the mouse bioassay and enzyme-linked immunosorbent assay procedures for the detection of type A botulinal toxin in food. *J Food Prot*. 2004; 67: 203–6.
- 21- Barr JR, Moura H, Boyer AE, et al. Botulinum neurotoxin detection and differentiation by mass spectrometry. *Emerg Infect Dis*. 2005; 11: 1578-83.
- 22- Shone C, Wilton-Smith P, Appleton N, et al. Monoclonal antibody-based immunoassay for type A Clostridium botulinum toxin is comparable to the mouse bioassay. *Appl Environ Microbiol*. 1985; 50: 63–7.
- 23-Binz T, Blasi J, Yamasaki S, et al. Proteolysis of SNAP-25 by types e and A botulinal neurotoxins. *J Biol Chem*. 1994; 269: 1617-20.
- 24- Hallis B, James BA, Shone CC. Development of novel assays for botulinum type A and B neurotoxins based on their endopeptidase activities. *J Clin Microbiol*. 1996; 34: 1934–8.